

*Capítulo 3.*

---

**DIFUSÃO DE CALOR E DE QML 1D PERMANENTE**

---

Neste capítulo serão abordados três tipos de problemas (Incropera e DeWitt, 1998):

- Difusão de calor em parede;
- Difusão de calor em aleta; e
- Difusão de QML (quantidade de movimento linear).

Eles serão tratados de forma unidimensional (1D) em regime permanente (p). Abreviaremos estes casos por 1Dp. Para a solução do sistema linear de equações, serão vistos dois tipos de *solver* (Maliska, 2004; Kreyszig, 1999):

- Gauss-Seidel (iterativo); e
- TDMA (direto).

Os problemas serão resolvidos para três tipos de condições de contorno (Incropera e DeWitt, 1998):

- Dirichlet;
- Neumann; e
- Robin.

Para a discretização do domínio de cálculo, serão empregadas:

- malhas uniformes; e
- coordenadas cartesianas.

**3.1 DIFUSÃO DE CALOR EM PAREDE COM TEMPERATURA PRESCRITA****3.1.1 Modelo Matemático e Domínio de Cálculo**

$$\frac{d^2T}{dX^2} = S_0 + S_1X + S_2X^2 = S \quad (3.1)$$

$$\left. \begin{aligned} T(0) &= T_0 \\ T(L) &= T_L \end{aligned} \right\} \text{Condições de contorno (C.C.) de Dirichlet.} \quad (3.2)$$

onde

$T$  = temperatura (variável dependente)

$X$  = coordenada espacial (variável independente)

$S_0, S_1$  e  $S_2$  = constantes

$S$  = termo fonte

$L$  = comprimento do domínio de cálculo

$T_0$  = temperatura conhecida no contorno esquerdo, isto é, em  $X = 0$

$T_L$  = temperatura conhecida no contorno direito, isto é, em  $X = L$

A Eq. (3.1) é uma equação do tipo Poisson onde:

- Se  $S < 0$ : há geração de calor (por exemplo: efeito Joule ou reações químicas exotérmicas); e
- Se  $S > 0$ : há absorção de calor (por exemplo: expansão gasosa ou reações químicas endotérmicas)

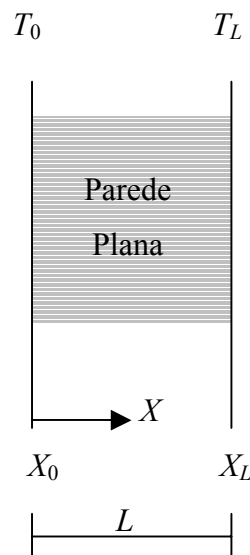


Figura 3.1 Domínio de cálculo e condições de contorno.

### 3.1.2 Variáveis de Interesse

Para o problema descrito, pretende-se obter soluções numéricas e analíticas para as seguintes variáveis:

- temperatura  $T$ , a partir da Eq. (3.1)

- temperatura média: 
$$T_m = \frac{1}{L} \int_0^L T dX \quad (3.3)$$

- Fluxo de calor ( $q''$ ) em  $X=0$  e  $X=L$ , isto é,

$$q''_0 = -k \left( \frac{dT}{dX} \right)_0 \quad (3.4)$$

$$q''_L = -k \left( \frac{dT}{dX} \right)_L \quad (3.5)$$

onde  $k$  é uma constante que representa a condutividade térmica do material da parede, dada em W/m.K;  $T$  é a variável primária;  $T_m$  e  $q''$  são variáveis secundárias, isto é, variáveis que dependem de  $T$ .

### 3.1.3 Soluções Analíticas

Considerando

$$T_0 = 0 \text{ e } T_L = L = k = 1 \quad (3.6)$$

as soluções analíticas para as variáveis de interesse são:

$$T = \left( 1 - \frac{S_0}{2} - \frac{S_1}{6} - \frac{S_2}{12} \right) X + \frac{S_0}{2} X^2 + \frac{S_1}{6} X^3 + \frac{S_2}{12} X^4 \quad (3.7)$$

$$T_m = \frac{1}{2} - \frac{S_0}{12} - \frac{S_1}{24} - \frac{S_2}{40} \quad (3.8)$$

$$q_0'' = \frac{S_0}{2} + \frac{S_1}{6} + \frac{S_2}{12} - 1 \quad (3.9)$$

$$q_L'' = -\left(1 + \frac{S_0}{2} + \frac{S_1}{3} + \frac{S_2}{4}\right) \quad (3.10)$$

### 3.1.4 Discretização do Modelo Matemático

Com as aproximações numéricas: da Eq. (2.5) para  $S_0$ ,  $S_1$  e  $S_2$ ; Eq. (2.6) para  $X$ ; e Eq. (2.38) para  $\lambda_{CDS-2}^{ii}$  na Eq. (3.1), obtém-se

$$\frac{(T_W + T_E - 2T_P)}{h^2} = S_0 + S_1 X_P + S_2 X_P^2 \quad (3.11)$$

ou

$$2T_P = T_W + T_E - (S_0 + S_1 X_P + S_2 X_P^2)h^2 \quad (3.12)$$

ou, ainda,

$$a_P T_P = a_W T_W + a_E T_E + b_P \quad (3.13)$$

Esta equação representa a forma discretizada do modelo matemático, dado na Eq. (3.1), para cada nó ( $P$ ) interno da malha ( $P = 2, 3, \dots, N-1$ ), com  $N$  sendo o número total de nós da malha; onde,  $W = P-1$ ,  $E = P+1$ , conforme a Fig. 3.2. Comparando-se as Eqs. (3.12) e (3.13), verifica-se que os coeficientes ( $a_P, a_W, a_E$ ) e o termo fonte ( $b_P$ ) da Eq. (3.13) são dados por

$$a_P = 2, \quad a_W = a_E = 1, \quad b_P = -(S_0 + S_1 X_P + S_2 X_P^2)h^2 \quad (3.14)$$

Para entender melhor o significado da Eq. (3.13), vamos aplicá-la a um domínio discretizado com apenas 5 nós, mostrado na Fig. 3.3. Isso resulta na seguinte matriz de coeficientes:

$$\begin{bmatrix} a_{11} & a_{12} & 0 & 0 & 0 \\ a_{21} & a_{22} & a_{23} & 0 & 0 \\ 0 & a_{32} & a_{33} & a_{34} & 0 \\ 0 & 0 & a_{43} & a_{44} & a_{45} \\ 0 & 0 & 0 & a_{54} & a_{55} \end{bmatrix} \begin{bmatrix} T_1 \\ T_2 \\ T_3 \\ T_4 \\ T_5 \end{bmatrix} = \begin{bmatrix} b_1 \\ b_2 \\ b_3 \\ b_4 \\ b_5 \end{bmatrix} \quad (3.15)$$

A matriz de coeficientes é do tipo quadrada, isto é, com  $N$  por  $N$  coeficientes. No caso do tipo de discretização usado sobre a Eq. (3.1), diferença central de 3 pontos, a matriz de coeficientes é denominada tridiagonal, ou seja, somente três diagonais possuem coeficientes não-nulos. A Eq. (3.15) pode ser reescrita como

$$[A][T] = [B] \tag{3.16}$$

onde  $[A]$  é a matriz dos coeficientes,  $[T]$  é a matriz incógnita e  $[B]$  é a matriz dos termos fontes. As matrizes  $[T]$  e  $[B]$  têm dimensão  $N$  por 1, isto é, elas são vetores. A solução do sistema (3.16) fornece a solução numérica da variável dependente ( $T$ ).

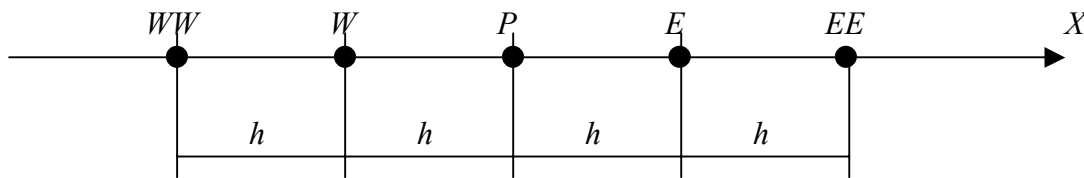


Figura 3.2 Nó genérico  $P$  e seus vizinhos  $WW$ ,  $W$ ,  $E$  e  $EE$ .

Na matriz  $[A]$ , o primeiro índice representa cada nó  $P$  da malha. O segundo índice representa os outros nós da malha que influenciam cada nó  $P$ . Da Eq. (3.13), nota-se que cada nó  $P$  é influenciado por apenas dois nós vizinhos ( $W$  e  $E$ ), decorrente da aproximação numérica que foi usada, representada pela Eq. (2.38). Isso não ocorre nos contornos, conforme pode-se observar na Fig. 3.3.

Cada linha do sistema (3.15) representa a equação de cada nó  $P$  da malha, Eq. (3.13). No caso mais complexo, onde todos os nós  $j$  influenciariam cada nó  $k$  da malha, teríamos

$$\sum_{j=1}^N (a_{k,j} T_j) = b_k \quad (k = 1, 2, 3, \dots, N) \tag{3.17}$$

Neste caso, a matriz de coeficientes seria do tipo cheia. A correspondência entre a Eq. (3.17) e a Eq. (3.13) é

$$a_{k,j} = a_P, \quad a_{k,j-1} = -a_W, \quad a_{k,j+1} = -a_E, \quad b_k = b_P \quad (3.18)$$

com  $a_{k,<j-1} = a_{k,>j+1} = 0$ , para  $j = k$ .

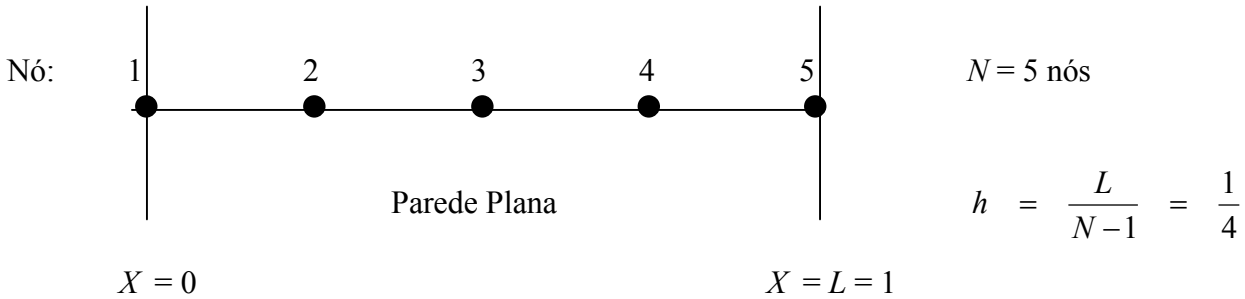


Figura 3.3 Exemplo de discretização do domínio de cálculo.

Em princípio, a Eq. (3.13) só é válida para os nós internos do domínio, isto é, todos os nós exceto os contornos. Se quisermos aplicar a Eq. (3.13) também aos contornos, como no sistema (3.15), deve-se determinar o valor dos coeficientes de tal forma que eles satisfaçam as condições de contorno. Nesta seção 3.1 estamos tratando com condições de contorno de Dirichlet, isto é, o valor da temperatura é conhecida nos contornos, conforme a Eq. (3.2). Portanto, para que a Eq. (3.13) satisfaça a Eq. (3.2), deve-se fazer:

- No contorno esquerdo ( $X = 0$  e  $P = 1$ ):

$$a_P = 1, \quad a_W = a_E = 0, \quad b_P = T_0 \quad (3.19)$$

Isso resulta em  $T_P = T_0$ .

- No contorno direito ( $X = L$  e  $P = N$ ):

$$a_P = 1, \quad a_W = a_E = 0, \quad b_P = T_L \quad (3.20)$$

Isso resulta em  $T_P = T_L$ .

Outra possibilidade é resolver o sistema de equações apenas para os nós internos, já que a solução é conhecida nos contornos. Neste caso, o sistema (3.15) se reduz a

$$\begin{bmatrix} a_{22} & a_{23} & 0 \\ a_{32} & a_{33} & a_{34} \\ 0 & a_{43} & a_{44} \end{bmatrix} \begin{bmatrix} T_2 \\ T_3 \\ T_4 \end{bmatrix} = \begin{bmatrix} b_2 - a_{21}T_1 \\ b_3 \\ b_4 - a_{45}T_5 \end{bmatrix} \quad (3.21)$$

Se fosse empregada a aproximação  $\lambda_{CDS-4}^i$ , dada pela Eq. (2.41), para discretizar a Eq. (3.1), a matriz de coeficientes seria do tipo pentadiagonal, isto é, haveria cinco diagonais não-nulas.

### 3.1.5 Discretização das Variáveis Secundárias

Com a solução numérica de  $T$ , a temperatura média  $T_m$ , definida na Eq. (3.3), pode ser obtida através da Eq. (2.44), ou seja,

$$T_m = \frac{h}{2L} \sum_{P=2}^N (T_W + T_P) \quad (3.22)$$

onde  $W = P - 1$ .

O Fluxo de calor ( $q''$ ) em  $X = 0$ , definido na Eq. (3.4), pode ser obtido por meio de duas aproximações numéricas do capítulo 2:

- com  $\lambda_{DDS}^i$ , Eq. (2.19):  $q_0'' = -k \frac{(T_E - T_P)}{h} \quad (3.23)$

- com  $\lambda_{DDS-2}^i$ , Eq. (2.29):  $q_0'' = -k \frac{(4T_E - 3T_P - T_{EE})}{2h} \quad (3.24)$

onde, conforme a Fig. 3.2,

$$P = 1, \quad E = P + 1 = 2, \quad EE = P + 2 = 3 \quad (3.25)$$

O Fluxo de calor ( $q''$ ) em  $X = L$ , definido na Eq. (3.5), pode ser obtido também com duas aproximações numéricas do capítulo 2:

- com  $\lambda_{UDS}^i$ , Eq. (2.23):  $q_L'' = -k \frac{(T_P - T_W)}{h} \quad (3.26)$

• com  $\lambda_{UDS-2}^i$ , Eq. (2.32): 
$$q_L'' = -k \frac{(3T_P + T_{WW} - 4T_W)}{2h} \quad (3.27)$$

onde, conforme a Fig. 3.2,

$$P = N, \quad W = P - 1 = N - 1, \quad WW = P - 2 = N - 2 \quad (3.28)$$

### 3.1.6 Algoritmo de Solução

As soluções numéricas da variável dependente ( $T$ ) no modelo matemático, dada nas Eqs. (3.1) e (3.2), e das variáveis secundárias  $T_m$ ,  $q_0''$  e  $q_L''$ , definidas nas Eqs. (3.3) a (3.5), podem ser obtidas com o seguinte algoritmo num programa computacional:

1. Ler os dados do problema:  $S_0, S_1, S_2, T_0, T_L, k, L$  e  $N$ .
2. Discretizar o domínio de cálculo, isto é, obter  $h$  da Eq. (2.4).
3. Calcular os coeficientes ( $a_P, a_W, a_E$ ) e os termos fontes ( $b_P$ ) do sistema de equações, conforme a Eq. (3.14), para  $P = 2, 3, \dots, N-1$ .
4. Calcular os coeficientes e termos fontes dos contornos,  $P = 1$  e  $P = N$ , com as Eqs. (3.19) e (3.20).
5. Resolver  $T_P$  com o método TDMA, descrito na próxima seção.
6. Obter  $T_m$  com a Eq. (3.22).
7. Obter  $q_0''$  com a Eq. (3.23) ou (3.24).
8. Obter  $q_L''$  com a Eq. (3.26) ou (3.27).
9. Gravar os resultados de  $T_P, T_m, q_0''$  e  $q_L''$ .
10. Visualizar a solução de  $T$  em um gráfico  $T_P$  versus  $X_P$ .

## 3.2 SOLUÇÃO DE SISTEMAS DE EQUAÇÕES TRIDIAGONAIS

O sistema de equações algébricas representado pela Eq. (3.13), (3.15) ou (3.16) pode ser resolvido por métodos diretos ou iterativos (Kreyszig, 1999). Os métodos diretos resolvem o sistema com um número finito de operações. Isto é, definido o tamanho da matriz  $[A]$ , sabe-se *a priori*, qual é a quantidade de operações algébricas necessária para se obter a solução do sistema.

Os métodos iterativos resolvem o sistema através de um processo iterativo de aproximações sucessivas da solução, podendo ou não ser obtida a solução, ou seja, podendo ou não convergir para uma solução. Uma estimativa inicial da solução precisa ser fornecida e o número mínimo de



iterações para se obter uma solução depende dela. Portanto, a solução obtida é função da estimativa inicial e do critério de convergência especificado. A seguir são apresentados um método direto e um método iterativo para resolver sistemas de equações oriundos de problemas unidimensionais lineares.

### 3.2.1 Método TDMA

O método TDMA (*TriDiagonal Matrix Algorithm*) resolve de forma direta sistemas de equações cuja matriz de coeficientes é do tipo tridiagonal, para coeficientes com valores constantes. Inicialmente vamos reescrever a Eq. (3.13) da seguinte forma:

$$a_P T_P = b_P T_W + c_P T_E + d_P \quad (3.29)$$

onde o subíndice  $P$  representa cada linha do sistema de equações. A correspondência entre os coeficientes da Eq. (3.29) e os coeficientes da Eq. (3.13) é:  $a_P = a_P$ ,  $b_P = a_W$ ,  $c_P = a_E$  e  $d_P = b_P$ . O objetivo é obter uma solução direta do tipo

$$T_P = P_P T_E + Q_P \quad (3.30)$$

onde  $P_P$  e  $Q_P$  são coeficientes do método TDMA. Reescrevendo a Eq. (3.30) para o nó  $W$ , tem-se

$$T_W = P_W T_P + Q_W \quad (3.31)$$

Com a Eq. (3.31) em (3.29), vem

$$a_P T_P = b_P (P_W T_P + Q_W) + c_P T_E + d_P$$

ou

$$(a_P - b_P P_W) T_P = c_P T_E + d_P + b_P Q_W$$

Isolando-se  $T_P$  nesta última equação, obtém-se

$$T_P = \left[ \frac{c_P}{a_P - b_P P_W} \right] T_E + \left[ \frac{d_P + b_P Q_W}{a_P - b_P P_W} \right] \quad (3.32)$$

Comparando-se as Eqs. (3.30) e (3.32), é evidente que

$$P_P = \frac{c_P}{a_P - b_P P_W} \quad (3.33)$$

$$Q_P = \frac{d_P + b_P Q_W}{a_P - b_P P_W} \quad (3.34)$$

Os coeficientes  $P_P$  e  $Q_P$ , calculados com as Eqs. (3.33) e (3.34), são válidos somente para os nós internos da malha, isto é,  $P = 2, 3, \dots, N-1$ . Nos contornos, onde não existe um dos três coeficientes da Eq. (3.29), deve-se fazer o seguinte:

- No contorno esquerdo ( $P = 1$ ): não existe o coeficiente  $b_P$  ou  $b_1$  da Eq. (3.29), então as Eqs. (3.33) e (3.34) se reduzem a

$$P_1 = \frac{c_1}{a_1} \quad (3.35)$$

$$Q_1 = \frac{d_1}{a_1} \quad (3.36)$$

- No contorno direito ( $P = N$ ): não existe o nó leste ( $E$ ), portanto a Eq. (3.30) se reduz a

$$T_N = Q_N \quad (3.37)$$

Considerando-se que já tenham sido calculados os coeficientes e os termos fontes da Eq. (3.29), para todos os nós da malha, o algoritmo para aplicar o método TDMA é:

- 1) Calcular  $P_1$  e  $Q_1$  com as Eqs. (3.35) e (3.36).
- 2) Calcular  $P_P$  e  $Q_P$  com as Eqs. (3.33) e (3.34) para os pontos  $P = 2, 3, \dots, N$ .
- 3) Obter  $T_N$  da Eq. (3.37).
- 4) Obter  $T_P$  da Eq. (3.30) para  $P = N-1, N-2, \dots, 3, 2, 1$ .

### 3.2.2 Método de Gauss-Seidel

O método de Gauss-Seidel resolve de forma iterativa sistemas de equações. Ele consiste em isolar a incógnita em cada linha do sistema de equações. No caso, a partir da Eq. (3.13), tem-se

$$T_P = \frac{a_W T_W + a_E T_E + b_P}{a_P} \quad (3.38)$$

Como  $T_W$  e  $T_E$  também são desconhecidos nesta equação, é necessário estimar um campo inicial para a variável  $T$ . Quando  $T$  for calculado para  $P = 1, 2, \dots$  até  $N$ , diz-se que se executou uma iteração. Caso o processo seja convergente, a solução de  $T_P$  é melhorada a cada iteração e o processo é encerrado quando algum critério de convergência ou de parada pré-estabelecido for satisfeito. Note que, o processo de solução é função da estimativa inicial das variáveis e do número de iterações realizado.

Considerando-se que já tenham sido calculados os coeficientes e os termos fontes da Eq. (3.13), para todos os nós da malha, o algoritmo para aplicar o método Gauss-Seidel é:

- 1) Estabelecer um critério de parada ou de convergência.
- 2) Estimar a solução de  $T_P$  para  $P = 1, 2, \dots, N$ .
- 3) Obter  $T_P$  com a Eq. (3.38) para  $P = 1, 2, \dots, N$ .
- 4) Verificar se a solução de  $T_P$  satisfaz o critério de convergência; em caso afirmativo, encerrar o processo; caso contrário, retornar ao passo 3.

### 3.3 DIFUSÃO DE CALOR EM PAREDE COM FLUXO PRESCRITO

Nesta seção mostra-se a discretização da Eq. (3.1) para o caso em que uma das condições de contorno é do tipo de Neumann, isto é,

- em  $X = 0$ , C.C. de Dirichlet:  $T(0) = T_0$  (3.39)

- em  $X = L$ , C.C. de Neumann:  $-k \left( \frac{dT}{dX} \right)_L = q_L^{\ddot{}}$  (3.40)

onde

$T$  = temperatura (variável dependente)

$X$  = coordenada espacial (variável independente)

$T_0$  = temperatura conhecida no contorno esquerdo, isto é, em  $X = 0$

$q_L^{\ddot{}}$  = fluxo de calor conhecido no contorno direito, isto é, em  $X = L$

$k$  = condutividade térmica da parede; constante (W/m.K)

Em relação ao problema da seção 3.1, apenas uma condição de contorno é alterada. Portanto, os coeficientes e termo fonte da Eq. (3.14) continuam válidos para os nós internos da malha:  $P = 2, 3, \dots, N-1$ . Para o nó  $P = 1$ , contorno esquerdo, a Eq. (3.19) também continua válida. Já para o contorno direito, onde  $P = N$ , veremos a seguir duas possibilidades.

### 3.3.1 Aproximação com $\lambda_{UDS}^i$

Com a aproximação numérica  $\lambda_{UDS}^i$ , dada pela Eq. (2.23), na Eq. (3.40), obtém-se

$$-k \frac{(T_P - T_W)}{h} = q_L'' \quad (3.41)$$

ou

$$T_P = T_W - \frac{q_L'' h}{k} \quad (3.42)$$

onde  $P = N$ ,  $W = P - 1 = N - 1$ . Comparando-se as Eqs. (3.13) e (3.42), chega-se a

$$a_P = a_W = 1, \quad a_E = 0, \quad b_P = -\frac{q_L'' h}{k} \quad (3.43)$$

Neste caso, a matriz de coeficientes continua tridiagonal, como na Eq. (3.15). Portanto, o método TDMA resolve  $T$  diretamente.

### 3.3.2 Aproximação com $\lambda_{UDS-2}^i$

Com a aproximação numérica  $\lambda_{UDS-2}^i$ , dada pela Eq. (2.32), na Eq. (3.40), obtém-se

$$-k \frac{(3T_P + T_{WW} - 4T_W)}{2h} = q_L'' \quad (3.44)$$

ou

$$T_P = \frac{4}{3}T_W - \frac{1}{3}T_{WW} - \frac{2}{3} \frac{q_L'' h}{k} \quad (3.45)$$

onde  $P = N$ ,  $W = P - 1 = N - 1$ ,  $WW = P - 2 = N - 2$ .

Há duas possibilidades de substituir a Eq. (3.45) no sistema (3.15). A primeira é manter o coeficiente de  $T_{WW}$  na matriz de coeficientes. Isso quebra a estrutura tridiagonal. Para resolver

diretamente o sistema é necessário usar o método de eliminação de Gauss, por exemplo. A segunda possibilidade é incluir no termo fonte o termo que envolve  $T_{WW}$ , isto é,

$$a_p = 1, \quad a_w = \frac{4}{3}, \quad a_E = 0, \quad b_p = -\left(\frac{1}{3}T_{WW} + \frac{2}{3}\frac{q_L h}{k}\right) \quad (3.46)$$

Neste caso preserva-se a estrutura tridiagonal da matriz de coeficientes. Mas a existência da incógnita  $T_{WW}$  no termo fonte torna iterativa a solução do sistema (3.15).

### 3.4 DIFUSÃO DE CALOR EM ALETA

#### 3.4.1 Modelo Matemático e Domínio de Cálculo

Neste novo problema, esquematizado na Fig. 3.4, o modelo matemático é dado por

$$\frac{d^2T}{dX^2} = m^2 (T - T_\infty) \quad (3.47)$$

onde suas variáveis são

$T$  = temperatura (variável dependente)

$X$  = coordenada espacial (variável independente)

$T_\infty$  = temperatura do fluido em contato com a aleta (constante)

$T_b$  = temperatura da base da aleta (conhecida)

$T_L$  = temperatura da ponta da aleta (desconhecida)

$$m = \sqrt{\frac{H P}{k A_b}} \quad (\text{constante}) \quad (3.48)$$

$H$  = coeficiente de transferência de calor (W/m<sup>2</sup>.K)

$k$  = condutividade térmica (W/m.K)

$A_b$  = área da seção transversal da aleta (m<sup>2</sup>)

$P$  = perímetro da seção transversal da aleta (m)

As condições de contorno são:

- em  $X = 0$ , C.C. de Dirichlet:  $T(0) = T_b$  (3.49)

• em  $X=L$ , C.C. de Robin: 
$$q_L = \underbrace{-k \left( \frac{dT}{dX} \right)_L}_{\text{condução}} = \underbrace{H (T_L - T_\infty)}_{\text{convecção}} \quad (3.50)$$

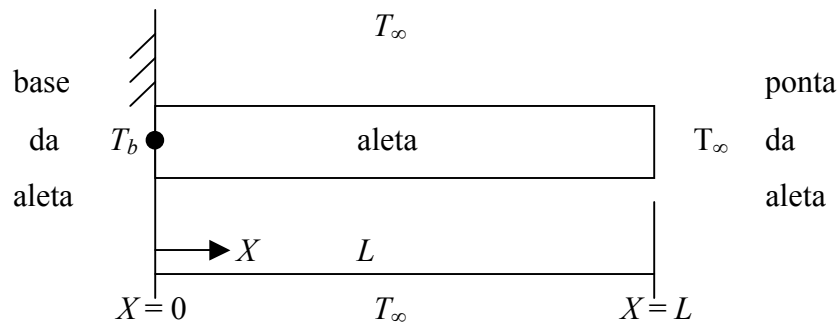


Figura 3.4 Esboço de uma aleta.

### 3.4.2 Variáveis de Interesse

Pretende-se obter soluções numéricas e analíticas para as seguintes variáveis:

- temperatura  $T$ , variável primária, a partir da Eq. (3.47)
- Taxa de transferência de calor ( $q$ ) entre a aleta e o fluido, variável secundária:

$$q = -k A_b \left( \frac{dT}{dX} \right)_0 \quad (3.51)$$

### 3.4.3 Soluções Analíticas

A solução analítica do modelo matemático dado pelas Eqs. (3.47), (3.49) e (3.50) é (Incropera e DeWitt, 1998):

$$T = T_\infty + (T_b - T_\infty) \left\{ \frac{\cosh[m(L-x)] + (H/mk) \sinh[m(L-x)]}{\cosh(mL) + (H/mk) \sinh(mL)} \right\} \quad (3.52)$$

e, da Eq. (3.51),

$$q = \sqrt{HPkA_b} (T_b - T_\infty) \left\{ \frac{\sinh(mL) + (H/mk) \cosh(mL)}{\cosh(mL) + (H/mk) \sinh(mL)} \right\} \quad (3.53)$$

### 3.4.4 Soluções Numéricas

Com as aproximações numéricas: da Eq. (2.5) para  $m$  e  $T_\infty$ ; Eq. (2.7) para  $T$ ; e (2.38) para a derivada de segunda ordem em (3.47), obtém-se

$$\frac{(T_W + T_E - 2T_P)}{h^2} = m^2(T_P - T_\infty) \quad (3.54)$$

ou

$$(2 + m^2h^2)T_P = T_W + T_E + m^2h^2T_\infty \quad (3.55)$$

onde  $W = P-1$  e  $E = P+1$ , conforme a Fig. 3.2. Comparando-se a Eq. (3.55) com a Eq. (3.13), obtém-se

$$a_P = 2 + m^2h^2, \quad a_W = a_E = 1, \quad b_P = m^2h^2T_\infty \quad (3.56)$$

Estes coeficientes e termo fonte representam novamente o sistema (3.15), isto é, a matriz de coeficientes é do tipo tridiagonal. Estes coeficientes valem para os nós internos da malha, isto é, para  $P = 2, 3, \dots, N-1$ .

Para o contorno esquerdo, ou seja, em  $X = 0$  e  $P = 1$ , temos

$$a_P = 1, \quad a_W = a_E = 0, \quad b_P = T_b \quad (3.57)$$

o que resulta em  $T_P = T_b$ . E para o contorno direito, isto é, em  $X = L$  e  $P = N$ , pode-se usar  $\lambda_{UDS}^i$  ou  $\lambda_{UDS-2}^i$  na Eq. (3.50), conforme já visto na seção 3.3. Com  $\lambda_{UDS}^i$ , Eq. (2.23), tem-se

$$-k \frac{(T_P - T_W)}{h} = H(T_P - T_\infty) = q_L^i \text{ (desconhecido)} \quad (3.58)$$

ou

$$(k + hH)T_P = kT_W + hHT_\infty \quad (3.59)$$

ou seja,

$$a_P = k + hH, \quad a_W = k, \quad a_E = 0, \quad b_P = hHT_\infty \quad (3.60)$$

Empregando-se  $\lambda_{UDS-2}^i$ , Eq. (2.32), na Eq. (3.50), tem-se

$$-k \frac{(3T_P + T_{WW} - 4T_W)}{2h} = H(T_P - T_\infty) \quad (3.61)$$

ou

$$(3k + 2hH)T_P = 4kT_W - kT_{WW} + 2hHT_\infty \quad (3.62)$$

Para a Eq. (3.62) valem os comentários feitos para a Eq. (3.45) na seção 3.3.2. Então, no caso de se querer manter a estrutura tridiagonal na matriz de coeficientes, a partir da Eq. (3.62), temos

$$a_P = 3k + 2hH, \quad a_W = 4k, \quad a_E = 0, \quad b_P = -kT_{WW} + 2hHT_\infty \quad (3.63)$$

Portanto, a solução com o método TDMA se torna iterativa.

A solução numérica de  $(q)$ , Eq. (3.51), pode ser obtida com  $\lambda_{DDS}^i$  ou  $\lambda_{DDS-2}^i$ , da mesma forma como se fez com  $q_0^*$  na seção 3.1.5. Assim, para  $\lambda_{DDS}^i$ , Eq. (2.19), temos

$$q = -k A_b \frac{(T_E - T_P)}{h} \quad (3.64)$$

onde  $P = 1$  e  $E = P + 1 = 2$ . Já com  $\lambda_{DDS-2}^i$ , Eq. (2.29), obtém-se

$$q = -k A_b \frac{(4T_E - 3T_P - T_{EE})}{2h} \quad (3.65)$$

onde  $P = 1$ ,  $E = P + 1 = 2$  e  $EE = P + 2 = 3$ .

## 3.5 DIFUSÃO DE QUANTIDADE DE MOVIMENTO LINEAR (QML)

### 3.5.1 Modelo Matemático e Domínio de Cálculo



Para um escoamento laminar, plenamente desenvolvido, num duto de seção constante, Fig. 3.5, em regime permanente, com fluido incompressível, tem-se

$$\mu \frac{d^2 u}{dy^2} = C \quad (3.66)$$

onde

$u$  = componente do vetor velocidade na direção  $x$  (variável dependente)

$y$  = coordenada espacial (variável independente)

$\mu$  = viscosidade absoluta do fluido (constante)

$C$  = constante

As condições de contorno são do tipo Dirichlet:

$$u(0) = u(D) = 0 \quad (3.67)$$

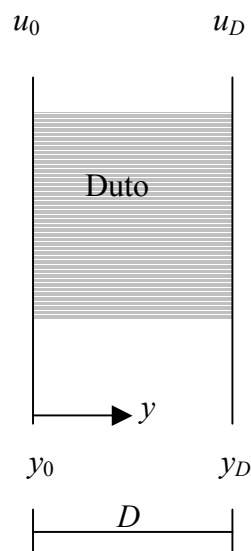


Figura 3.5 Domínio de cálculo e condições de contorno para o escoamento num duto.

### 3.5.2 Variáveis de Interesse

Pretende-se obter soluções numéricas e analíticas para as seguintes variáveis:

- velocidade  $u$ , variável primária, a partir da Eq. (3.66)
- velocidade máxima  $u_{Max}$  do perfil de  $u$ , variável secundária

- velocidade média ( $u_m$ ) do perfil de  $u$ , variável secundária, obtida com

$$u_m = \frac{1}{D} \int_0^D u \, dy \quad (3.68)$$

### 3.5.3 Soluções Analíticas

A solução analítica do modelo matemático dado pelas Eqs. (3.66) e (3.67) resulta em

$$u = \frac{CD^2}{2\mu} \left[ \left( \frac{y}{D} \right)^2 - \left( \frac{y}{D} \right) \right] \quad (3.69)$$

e, com a Eq. (3.69) em (3.68),

$$u_m = -\frac{CD^2}{12\mu} \quad (3.70)$$

Com as Eqs. (3.69) e (3.70), chega-se a

$$u_{Max} = \frac{3}{2} u_m \quad (3.71)$$

### 3.5.4 Soluções Numéricas

Com a aproximação numérica dada pela Eq. (2.38) na Eq. (3.66), obtém-se

$$\mu \frac{(u_W + u_E - 2u_P)}{h^2} = C \quad (3.72)$$

ou

$$2u_P = u_W + u_E - \frac{Ch^2}{\mu} \quad (3.73)$$

onde  $W = P-1$  e  $E = P+1$ , conforme a Fig. 3.2. Comparando-se a Eq. (3.73) com a Eq. (3.13), obtém-se

$$a_P = 2, \quad a_W = a_E = 1, \quad b_P = -\frac{Ch^2}{\mu} \quad (3.74)$$

Estes coeficientes e termo fonte representam novamente o sistema (3.15), isto é, a matriz de coeficientes é do tipo tridiagonal. Estes coeficientes valem para os nós internos da malha, isto é, para  $P = 2, 3, \dots, N-1$ . Para satisfazer as condições de contorno dadas pela Eq. (3.67), para  $y = 0$  ( $P=1$ ) e  $y = D$  ( $P=N$ ), tem-se

$$a_P = 1, \quad a_W = a_E = b_P = 0 \quad (3.75)$$

o que resulta em  $u_P = 0$ .

Para obter  $u_{Max}$  basta verificar qual é a velocidade máxima da solução numérica obtida para o perfil de velocidades, no caso de haver um nó no centro do domínio. Se este não for o caso, então é necessário fazer uma extrapolação com dois ou mais nós vizinhos ao centro do domínio.

Com a solução numérica de  $u$ , a velocidade média  $u_m$ , definida na Eq. (3.68), pode ser obtida através da Eq. (2.44), ou seja,

$$u_m = \frac{h}{2D} \sum_{P=2}^N (u_W + u_P) \quad (3.76)$$

onde  $W = P - 1$ .

### 3.6 EXERCÍCIOS

#### **Exercício 3.1**

Implemente um programa computacional para resolver o sistema de equações representado pela Eq. (3.13) cujos coeficientes e termos fontes dos nós internos da malha são dados por

$$a_P = 2, \quad a_W = a_E = 1, \quad b_P = 0 \quad (P = 2, 3, \dots, N-1)$$

e os nós dos contornos ( $P = 1$  e  $P = N$ ) são dados pelas Eqs. (3.19) e (3.20), com  $T_0 = 0$  e  $T_L = 1$ . Resolva este sistema de equações para  $N = 11$  utilizando o método TDMA, descrito na seção 3.2.1. A solução que deverá ser obtida de forma direta é

$$T_P = \frac{(P-1)}{10} \quad (P = 1, 2, \dots, N)$$

**Exercício 3.2**

Implemente um programa computacional para resolver o problema definido na seção 3.1, considerando os seguintes dados:  $N = 11$ ,  $S_0 = -\frac{1}{2}$ ,  $S_1 = -\frac{3}{2}$ ,  $S_2 = -1$ ,  $T_0 = 0$  e  $T_L = k = L = 1$ .

Resultados a apresentar:

- 1) Gráfico de  $T_P$  versus  $X_P$  com as soluções analítica e numérica
- 2) Soluções analítica e numérica da temperatura média
- 3) Soluções analítica e numérica do fluxo de calor nos dois contornos

**Exercício 3.3**

Implemente um programa computacional para resolver o problema definido na seção 3.3, considerando a condição de contorno dada pela Eq. (3.43) e os seguintes dados:  $N = 21$ ,  $S_0 = -\frac{1}{2}$ ,  $S_1 = -3$ ,  $S_2 = -1$ ,  $T_0 = 0$ ,  $k = L = 1$  e  $q_L^* = \frac{1}{2}$ .

Resultados a apresentar:

- 1) Gráfico de  $T_P$  versus  $X_P$  com as soluções analítica e numérica
- 2) Soluções analítica e numérica da temperatura média
- 3) Soluções analítica e numérica do fluxo de calor no contorno esquerdo
- 4) Soluções analítica e numérica da temperatura no contorno direito

**Exercício 3.4**

Implemente um programa computacional para resolver o problema definido na seção 3.4, considerando a condição do contorno direito dada pela Eq. (3.60) e os seguintes dados:

$$\begin{array}{lll}
 P = \pi D & A_b = (\pi D^2)/4 & D = 0,005 \text{ m} \\
 T_b = 100 \text{ }^\circ\text{C} & T_\infty = 25 \text{ }^\circ\text{C} & L = 0,2 \text{ m} \\
 H = 100 \text{ W/m}^2\cdot\text{K} & k = 398 \text{ W/m}\cdot\text{K} & N = 21
 \end{array}$$

Resultados a apresentar:

- 1) Gráfico de  $T_P$  versus  $X_P$  com as soluções analítica e numérica
- 2) Soluções analítica e numérica da taxa de transferência de calor ( $q$ ) entre a aleta e o fluido

**Exercício 3.5**

Implemente um programa computacional para resolver o problema definido na seção 3.5, considerando os seguintes dados:  $N = 11$ ,  $\mu = 1 \times 10^{-3} \text{ Pa}\cdot\text{s}$ ,  $D = 5 \times 10^{-2} \text{ m}$ ,  $C = -9.6 \text{ Pa/m}$ .

Resultados a apresentar:

- 1) Gráfico de  $u_P$  versus  $y_P$  com as soluções analítica e numérica
- 2) Soluções analítica e numérica da velocidade média
- 3) Soluções analítica e numérica da velocidade máxima